

## ВЕСОВЫЕ ФУНКЦИИ ДЛЯ АДАПТИВНОГО ГАРМОНИЧЕСКОГО АНАЛИЗА СИГНАЛОВ С МНОГОМОДОВЫМ СПЕКТРОМ

Давыдочкин В.М., Давыдочкина С.В.

### Введение

Один из наиболее эффективных и часто используемых методов обработки сигналов при измерении их параметров выполняется на основе преобразования Фурье (ПФ). Основные недостатки этого метода обусловлены значительной методической погрешностью из-за низкой разрешающей способности и искажающих действий боковых лепестков. Эффективным способом снижения методической погрешности является применение сглаживающих весовых функций (ВФ). Этому вопросу посвящено много публикаций, поток которых не ослабевает и в настоящее время [1, 2, 3]. Обработка данных с помощью ВФ позволяет ослабить влияние боковых лепестков, но лишь за счёт ухудшения спектрального разрешения. Считается, что в результате этих трудно разрешимых противоречий при использовании классического спектрального анализа погрешность оценки частоты сигнала, представленного коротким отрезком гармонического колебания не может быть низкой [4]. В [5] предложен метод минимизации методической погрешности оценки частоты отрезка моногармонического сигнала итерационной процедурой изменения формы ВФ. Для этого могут быть использованы ВФ с варьируемыми параметрами, к которым относятся ВФ Дольфа-Чебышева (ДЧ) и ВФ Кайзера-Бесселя (КБ). В то же время наиболее типичной является задача измерения частоты и амплитуды сигнала на фоне помех.

**Цель настоящей работы** – получение ВФ, позволяющих устранить или минимизировать методическую погрешность измерения частот и амплитуд слагаемых отрезка полигармонического сигнала, а также получение ВФ с минимальным уровнем боковых лепестков (УБЛ) спектральной плотности (СП) при заданной ширине основного лепестка и заданной скорости уменьшения УБЛ.

### Метод расчёта адаптируемых весовых функций

ВФ, которые позволяют изменять их параметры для получения заданных спектральных свойств назовём адаптируемыми ВФ (АВФ).

При спектральном анализе за оценку частоты наиболее часто принимают частоту, соответствующую максимуму спектра сигнала [6]. В соответствии с таким определением для оценки частоты сигнала необходимо решить уравнение

$$\frac{d}{dx} \left| \sum_{i=1}^{N_c} e^{j(\Phi_i - \Phi_1)} S_i(x - x_i) + \sum_{i=1}^{N_c} e^{-j(\Phi_i + \Phi_1)} S_i(x + x_i) \right|^2 = 0, \quad (1)$$

где  $e^{j(\Phi_i - \Phi_1)} S_i(x)$  - слагаемые СП

$$\dot{S}(x) = \int_{-\infty}^{\infty} w(t) u(t) \exp(-j2\pi xt) dt,$$

Предложен метод расчёта весовых функций, который позволяет адаптировать их параметры для получения одновременного минимума методической погрешности измерения частоты и амплитуды сигнала при спектральном анализе. Приведён каталог весовых функций с минимальным уровнем боковых лепестков при заданной ширине основного лепестка и заданной скорости уменьшения уровня боковых лепестков.

аргументами которых являются, соответственно, частоты  $(x + x_i)$ ,  $(x - x_i)$ ;  $\dot{S}(x)$  – СП взвешенной выборки суммы гармонических сигнала и помехи

$$u(t) = \sum_{i=1}^N U_i(t) \cos[\varphi_i(t) + \Phi_i],$$

полученной на симметричном нормированном временном интервале  $[-0,5T \dots 0,5T]$ ;  $N_c$  - число гармонических слагаемых сигнала;  $x = \omega T (2\pi)^{-1}$ ;  $t = t_{acc} / T$  - нормированная частота сигнала и нормированное время;  $U_i$ ,  $\Phi_i$  - амплитуда и постоянная составляющая фазы  $i$ -го компонента сигнала;  $w(t)$  - ВФ симметричная относительно середины временного интервала. Разумеется, результаты, полученные для симметричного временного интервала, будут справедливы для несимметричного временного интервала с учётом известных фазовых соотношений [7].

Будем считать, что  $S_1(x_1)$  соответствует сигналу, частоту которого  $x_1$  требуется определить.

Среди множества возможных решений уравнения (1) существует ряд частных, из которых следует, что для того чтобы оценка частоты сигнала  $x_1$  была не смещена необходимо, чтобы на этой частоте первые производные всех мешающих слагаемых СП были равны нулю

$$\begin{cases} \frac{d}{dx} S_i(x - x_i) = 0, & i = \overline{2, N_c}; \\ \frac{d}{dx} S_i(x + x_i) = 0, & i = \overline{1, N_c}. \end{cases} \quad (2)$$

При использовании известных ВФ совокупность решений, определяемая системой уравнений (2), соответствует значениям частот, при которых совпадают положения максимумов основного лепестка слагаемого спектра  $S_1(x - x_1)$  с положениями экстремумов боковых лепестков слагаемых  $S_1(x + x_1)$ ,  $S_i(x - x_i)$  и  $S_i(x + x_i)$ . В этом случае частота  $x_1$  для любой применяемой ВФ измеряется без погрешности независимо от фаз слагаемых сигнала. Однако погрешность оценки амплитуды сигнала определяется уровнем боковых лепестков и при использовании известных ВФ достигает экстремума, который, в частности, может совпадать с максимумом. Очевидно, что для того чтобы оценка амплитуды сигнала на частоте  $x_1$  соответствовала истинному

значению, на этой частоте должны быть равны нулю все мешающие слагаемые СП.

В общем случае можно заключить, что если мешающие слагаемые СП на заданной частоте  $x_1$  аппроксимируются нулем на основе формулы Тейлора, то оценки частоты и амплитуды сигнала не будут смещены. Таким образом, задача устранения методической погрешности измерения частот и амплитуд слагаемых отрезка полигармонического сигнала может быть решена, если существует ВФ, форма которой может задаваться варьируемыми параметрами таким образом, чтобы на частоте каждого из  $N_c$  слагаемых сигнала СП других слагаемых были равны нулю вместе с заданным количеством  $M$  их производных, т.е. если существует не тривиальное решение системы уравнений

$$\left\{ \begin{array}{l} S(x)|_{x=b_1} = 0, \\ \dots\dots\dots \\ S(x)|_{x=b_{2N_c-1}} = 0, \\ \frac{d}{dx} S(x) \Big|_{x=b_1} = 0, \\ \dots\dots\dots \\ \frac{d}{dx} S(x) \Big|_{x=b_{2N_c-1}} = 0, \\ \dots\dots\dots \\ \frac{d^{(M)}}{dx^{(M)}} S(x) \Big|_{x=b_1} = 0, \\ \dots\dots\dots \\ \frac{d^{(M)}}{dx^{(M)}} S(x) \Big|_{x=b_{2N_c-1}} = 0. \end{array} \right. \quad (3)$$

где  $b_i$  - частота задаваемого нуля СП АВФ.

Так как форма спектра отрезка гармонического сигнала с точностью до постоянного множителя совпадает с формой спектра ВФ [7], достаточно получить решение для заданных частот спектра ВФ, при этом  $b_1 = 2x_1$ ;  $b_i = |x_1 - x_i|$ ,  $i = \overline{2, N_c}$  для слагаемых СП сигнала с положительной полуоси частот;  $b_i = x_1 + x_i$ ,  $i = \overline{2, N_c}$  для слагаемых СП с отрицательной полуоси частот.

Для определения возможностей исключения методических погрешностей рассмотрим ВФ, представимые тригонометрическими рядами

$$w_{sN}(t, b_1, \dots, b_{2N_c-1}) = 1 + \sum_{n=1}^N a_{sn}(b_1, \dots, b_{2N_c-1}) \cos(2\pi n t), \quad (4)$$

$$w_{cN}(t, b_1, \dots, b_{2N_c-1}) = \frac{1}{K} \left\{ \cos(\pi \cdot t) + \sum_{n=1}^N a_{cn}(b_1, \dots, b_{2N_c-1}) \cos[\pi(2n+1)t] \right\}. \quad (5)$$

где  $N = (2N_c - 1)(M + 1)$

Преобразование Фурье ВФ (4) и (5) представим, соответственно, выражениями

$$S_{sN}(x, b_1, \dots, b_{2N_c-1}) = \frac{\sin(\pi x)}{\pi x} \left[ 1 + \sum_{n=1}^N a_{sn}(b_1, \dots, b_{2N_c-1}) \cos(n\pi) \frac{x^2}{x^2 - n^2} \right], \quad (6)$$

$$S_{cN}(x, b_1, \dots, b_{2N_c-1}) = \frac{-\cos(\pi x)}{\pi K} \left[ \frac{0,5}{x^2 - 0,25} + \sum_{n=1}^N a_{cn}(b_1, \dots, b_{2N_c-1}) \cos(n\pi) \frac{n+0,5}{x^2 - (n+0,5)^2} \right]. \quad (7)$$

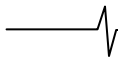
СП (6) и (7) представлены бесконечно дифференцируемым произведением сомножителей, первые из которых, соответственно,  $\sin(\pi x)/\pi x$  или  $\cos(\pi x)/\pi K$ . Так как ни эти сомножители, ни их производные не равны нулю на произвольной частоте  $x$ , для выполнения условия равенства нулю уравнений системы (3) должны быть равны нулю вторые сомножители СП

$$S_{sN}(x, b_1, \dots, b_{2N_c-1}) \text{ и } S_{cN}(x, b_1, \dots, b_{2N_c-1})$$

вместе со своими производными. Тогда система уравнений (3) для ВФ (4) и (5) преобразуется, соответственно, к системам уравнений

$$\left\{ \begin{array}{l} \sum_{n=1}^N a_{sn}(b_1, \dots, b_{2N_c-1}) \cos(n\pi) \frac{b_1^2}{b_1^2 - n^2} = -1, \\ \dots\dots\dots \\ \sum_{n=1}^N a_{sn}(b_1, \dots, b_{2N_c-1}) \cos(n\pi) \frac{b_{2N_c-1}^2}{b_{2N_c-1}^2 - n^2} = -1, \\ \sum_{n=1}^N a_{sn}(b_1, \dots, b_{2N_c-1}) \cos(n\pi) \frac{d}{dx} \left( \frac{x^2}{x^2 - n^2} \right) \Big|_{x=b_1} = 0, \\ \dots\dots\dots \\ \sum_{n=1}^N a_{sn}(b_1, \dots, b_{2N_c-1}) \cos(n\pi) \frac{d}{dx} \left( \frac{x^2}{x^2 - n^2} \right) \Big|_{x=b_{2N_c-1}} = 0, \\ \dots\dots\dots \\ \sum_{n=1}^N a_{sn}(b_1, \dots, b_{2N_c-1}) \cos(n\pi) \frac{d^{(M)}}{dx^{(M)}} \left( \frac{x^2}{x^2 - n^2} \right) \Big|_{x=b_1} = 0, \\ \dots\dots\dots \\ \sum_{n=1}^N a_{sn}(b_1, \dots, b_{2N_c-1}) \cos(n\pi) \frac{d^{(M)}}{dx^{(M)}} \left( \frac{x^2}{x^2 - n^2} \right) \Big|_{x=b_{2N_c-1}} = 0. \end{array} \right. \quad (8)$$

$$\left\{ \begin{array}{l} \sum_{n=1}^N a_{cn}(b_1, \dots, b_{2N_c-1}) \cos(n\pi) \frac{(n-0,5)^2}{b_1^2 - (n-0,5)^2} = -1, \\ \dots\dots\dots \\ \sum_{n=1}^N a_{cn}(b_1, \dots, b_{2N_c-1}) \cos(n\pi) \frac{(n-0,5)^2}{b_{2N_c-1}^2 - (n-0,5)^2} = -1, \\ \sum_{n=1}^N a_{cn}(b_1, \dots, b_{2N_c-1}) \cos(n\pi) \frac{d}{dx} \left[ \frac{(n-0,5)^2}{x^2 - (n-0,5)^2} \right] \Big|_{x=b_1} = 0, \\ \dots\dots\dots \\ \sum_{n=1}^N a_{cn}(b_1, \dots, b_{2N_c-1}) \cos(n\pi) \frac{d}{dx} \left[ \frac{(n-0,5)^2}{x^2 - (n-0,5)^2} \right] \Big|_{x=b_{2N_c-1}} = 0, \\ \dots\dots\dots \\ \sum_{n=1}^N a_{cn}(b_1, \dots, b_{2N_c-1}) \cos(n\pi) \frac{d^{(M)}}{dx^{(M)}} \left[ \frac{(n-0,5)^2}{x^2 - (n-0,5)^2} \right] \Big|_{x=b_1} = 0, \\ \dots\dots\dots \\ \sum_{n=1}^N a_{cn}(b_1, \dots, b_{2N_c-1}) \cos(n\pi) \frac{d^{(M)}}{dx^{(M)}} \left[ \frac{(n-0,5)^2}{x^2 - (n-0,5)^2} \right] \Big|_{x=b_{2N_c-1}} = 0. \end{array} \right. \quad (9)$$



При  $N \geq 2$  решениями систем (8), (9) относительно коэффициентов, соответственно,  $a_{sn}(b_1, \dots, b_{2N_c-1})$  и  $a_{cn}(b_1, \dots, b_{2N_c-1})$  являются:

$$a_{sn}(b_1, \dots, b_{2N_c-1}) = (-1)^{n+N} \cdot \prod_{\substack{k=1 \\ k \neq n}}^N \frac{k^2}{n^2 - k^2} \cdot \left[ \prod_{i=1}^{2N_c-1} \left( 1 - \frac{n^2}{b_i^2} \right) \right]^{M+1}, \quad (10)$$

$$a_{cn}(b_1, \dots, b_{2N_c-1}) = \frac{(-1)^{n+N}}{2n+1} \prod_{\substack{k=1 \\ k \neq n}}^N \frac{k^2 + k}{(n^2 + n) - (k^2 + k)} \cdot \left[ \prod_{i=1}^{2N_c-1} \left( \frac{b_i^2 - (n+0,5)^2}{b_i^2 - 0,25} \right) \right]^{M+1}. \quad (11)$$

Для  $N=1$   $a_{s1}(b) = \left( 1 - \frac{1^2}{b^2} \right)$  и  $a_{c1}(b) = \frac{1}{3} \left( \frac{b^2 - 2,25}{b^2 - 0,25} \right)$ .

В задачах одновременного оценивания частоты и амплитуды сигнала выражение для нормирующего множителя определяется из условия равенства единице нормированной СП ВФ на нулевой частоте.

### Спектральные свойства АВФ

Отметим некоторые свойства АВФ, которые в наибольшей степени влияют на возможность снижения методической погрешности и свойства, использование которых позволяет получать ВФ с оптимальными параметрами.

1. Положение нулевых значений (нулей) СП АВФ определяется положением нулей двух сомножителей. Положение нулей первого сомножителя  $\sin(\pi x)$  или  $\cos(\pi x)$ , соответственно, для СП (6) или (7) периодическое и не влияет на положение нулей второго сомножителя, которым определяется огибающая боковых лепестков СП (6) или (7).

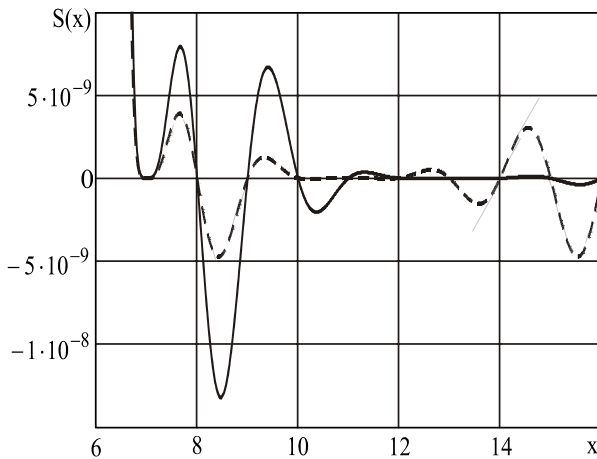


Рис. 1 – СП АВФ в области ближних боковых лепестков

Независимость положений нулей СП (6), (7) АВФ, определяемых, соответственно, сомножителем  $\sin(\pi x)$  или  $\cos(\pi x)$  от положения задаваемых нулей  $b_1, b_2, \dots, b_{2N_c-1}$ , позволяет для краткости называть эти положения нулей стационарными, а положения нулей вторых сомножителей – варьируемыми.

В частном случае системы уравнений (3) при  $M=0$  для АВФ с  $N$  варьируемыми параметрами получаются решения, которые позволяют выполнить формирование

нулевых значений СП на  $N$  задаваемых частотах  $b_1, b_2, \dots, b_N$ . Совмещение на одной частоте  $m$  нулей СП приводит к образованию на этой частоте нулей  $m-1$  производных. В зависимости от решаемой задачи это свойство позволяет применять не равный порядок нулей на различных задаваемых частотах и использовать при этом более компактное выражение для коэффициентов  $a_{sn}(b_1, \dots, b_N)$  и  $a_{cn}(b_1, \dots, b_N)$

$$a_{sn}(b_1, \dots, b_N) = (-1)^{n+N} \cdot \prod_{\substack{k=1 \\ k \neq n}}^N \frac{k^2}{n^2 - k^2} \cdot \prod_{i=1}^N \left( 1 - \frac{n^2}{b_i^2} \right), \quad (12)$$

$$a_{cn}(b_1, \dots, b_N) = \frac{(-1)^{n+N}}{2n+1} \prod_{\substack{k=1 \\ k \neq n}}^N \frac{k^2 + k}{(n^2 + n) - (k^2 + k)} \prod_{i=1}^N \left( \frac{b_i^2 - (n+0,5)^2}{b_i^2 - 0,25} \right), \quad (13)$$

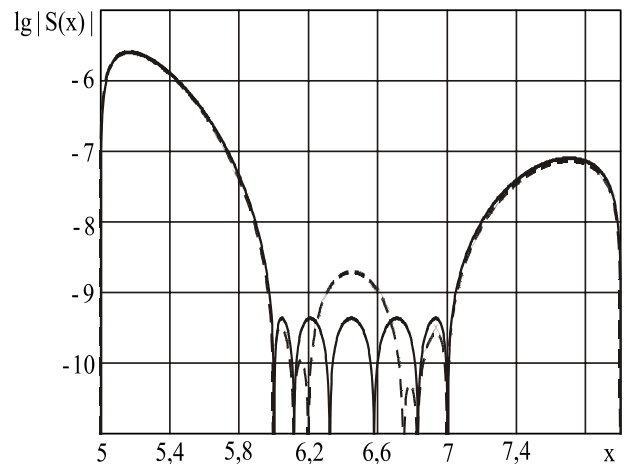


Рис. 2 – Область боковых лепестков СП АВФ

Возможность задания нулей СП на любых частотах иллюстрируется рис. 1 с СП АВФ (4) при  $N=6$  и заданными нулями третьего порядка на двух относительных частотах: 7 и 13 для сплошной кривой, 7 и 11 для пунктирной кривой.

2. Уровень боковых лепестков зависит от распределения по частоте сформированных нулевых значений СП и их кратности. Увеличение интервала между частотами соседних нулей, определяющего ширину бокового лепестка в этом интервале, приводит к возрастанию УБЛ в этом интервале и влияет на уровень соседних боковых лепестков. Это свойство иллюстрируется рис. 2 для СП АВФ (4) с  $N=4$ , на котором для сплошной кривой, кроме нулей, на частотах  $N+k$ , где  $k=1;2;\dots$ , определяемых первым сомножителем  $\sin(\pi x)$ , заданы нули на частотах  $b_1=6,1148135$ ,  $b_2=6,319898$ ,  $b_3=6,575851$ ,  $b_4=6,828999$  и получен минимальный УБЛ в интервале частот [6, 7], а для пунктирной кривой нули второго сомножителя заданы на частотах  $b_1=6,1148135$ ,  $b_2=6,2$ ,  $b_3=6,75$ ,  $b_4=6,828999$ . В результате, интервал частот между центральными нулями увеличен и уровень бокового лепестка в этом интервале также увеличен. Но при этом ширина соседних боковых лепестков и их уровень существенно уменьшились. Постепенно затухающее влияние изменения ширины бокового лепестка распространяется на соседние боковые лепестки (в интервалах от 5 до 6 и от 7 до 8).

3. Асимптотическая скорость уменьшения УБЛ СП (6) или (7) ( $C_S = 20 \lg \lim |S(2x)/S(x)|$  в децибелах на октаву) составляет, соответственно,  $(6 + 12N_\infty)$  дБ/окт и  $(12 + 12N_\infty)$  дБ/окт, где  $N_\infty$  - число нулей, заданных на бесконечной частоте или на частоте  $b \gg N$ .

### Методика расчёта ВФ на основе АВФ с минимальным УБЛ при заданных ширине основного лепестка и скорости уменьшения УБЛ

Выбор параметров ВФ особенно важен при спектральном анализе для измерения параметров отдельных тонов в сигнале, содержащем несколько гармоник. Для того, чтобы динамический диапазон измеряемых сигналов был максимален, ПФ применяемой ВФ должно иметь узкий главный лепесток и низкий УБЛ [1]. Применение только такого критерия к выбору ВФ неизбежно приводит к использованию ВФ ДЧ. Однако из-за когерентного суммирования боковых лепестков его СП, имеющих постоянный уровень, она не подтверждает своих высоких характеристик при измерении параметров нескольких сигналов различных частот. Поэтому кроме минимального УБЛ СП при заданной ширине основного лепестка важным параметром ВФ является скорость уменьшения УБЛ СП.

Однозначная связь формы СП АВФ с положением задаваемых нулей позволяет на основе АВФ получать ВФ с оптимальными параметрами. Считаем, что задаются: ширина  $\Delta F_0$  основного лепестка СП на нулевом уровне, скорость  $C_S$  уменьшения УБЛ и количество  $N$  слагаемых ВФ. Необходимо определить положения варьируемых нулей АВФ таким образом, чтобы УБЛ при этом был минимален.

Учитывая, что при  $b_1 < N$  один из нулей определяет ширину основного лепестка СП и его положение неизменно, а число  $N_\infty$  определяется заданной  $C_S$ , число варьируемых положений нулей АВФ будет составлять  $N_{\text{вар}} = N - (1 + N_\infty)$ . Тогда для минимизации УБЛ, целевую функцию можно записать в виде:

$$\max S_N(x, b_2, b_3, \dots, b_{N_{\text{вар}}}, N) \Rightarrow \min_{b_i} \quad (14)$$

При решении этой задачи в качестве эталона по ширине основного лепестка и УБЛ можно использовать СП ВФ ДЧ, для которой предельные значения соотношений ширины основного лепестка и УБЛ определены фундаментальным свойством полиномов Чебышева.

Для поиска оптимальных параметров могут быть использованы стандартные программы, например, программа многомерной оптимизации fminsearch в системе программирования МАТЛАВ.

В таблицах 1, 2 приведены ВФ с оптимизированными параметрами большинство из которых не имеют аналогов. При оптимизации задавался ряд значений исходных параметров -  $\Delta F_0 = 2,8; 3,2; 3,6; 4; 5; 6; 7; 8; 9$ , скорость уменьшения УБЛ (6 дБ/окт для СП АВФ (4) и 12 дБ/окт для СП АВФ (5)) и от двух до четырёх варьируемых параметров АВФ. Отметим две закономерности в свойствах СП оптимальных ВФ. Во-первых, УБЛ СП ВФ снижается при увеличении числа слагаемых ВФ и асимптотически стремится к УБЛ СП

ВФ ДЧ. Во-вторых, ширина основного лепестка СП на любом уровне, отличном от нуля, уменьшается с ростом числа слагаемых ВФ и асимптотически стремится к ширине основного лепестка СП ВФ ДЧ. При увеличении  $C_S$  обе закономерности проявляются сильнее.

Таблица 1.

ВФ  $w_{SN}^*$ ,  $C_S = 6$  дБ/окт,  $N_\infty = 0$ 

N	Частоты $b_i$	УБЛ, дБ	$\Delta F_6$
2	1,4; 2,0632	-27,09	1,486
4	1,4; 2,0444; 2,94; 3,9281	-27,637	1,4794
2	1,6; 2,2083	-32,9795	1,6058
4	1,6; 2,1788; 3,0232; 3,9739	-33,4899	1,6021
2	1,8; 2,4041	-38,2672	1,7165
4	1,8; 2,3216; 3,1144; 4,0246	-39,387	1,7123
2	2; 2,6491	-43,1875	1,8188
4	2; 2,4758; 3,2257; 4,1180	-45,1383	1,8153
2	2,25; 3,0493	-49,421	1,9368
4	2,25; 2,6825; 3,3926; 4,3057	-52,0279	1,9371
2	2,5; 3,7226	-56,6824	2,0518
4	2,5; 2,8995; 3,5797; 4,5672	-58,6678	2,0521
3	3; 3,3524; 5,3290	-71,4828	2,2638
3	3,5; 4,0150; 6,0405	-85,2222	2,4257
4	4; 4,2803; 5,0893; 8,7183	-98,1739	2,6243
4	4,5; 4,858; 6,093; 10,661	-110,903	2,7799

Таблица 2.

ВФ  $w_{CN}^*$ ,  $C_C = 12$  дБ/окт,  $N_\infty = 0$ 

N	Частоты $b_i$	УБЛ, дБ	$\Delta F_6$
3	1,4; 2,1577; 3,1993	-24,1852	1,5265
4	1,4; 2,1212; 3,1065; 4,2018	-25,1503	1,5138
2	1,6; 2,3355	-28,3002	1,6731
4	1,6; 2,2518; 3,1872; 4,2475	-30,6118	1,6249
2	1,8; 2,4514;	-34,1185	1,7843
4	1,8; 2,3911; 3,2759; 4,2984	-36,1187	1,7591
2	2; 2,2573	-40,2450	1,8816
4	2; 2,5377; 3,3720; 4,3540	-41,657	1,8647
2	2,25; 2,7549	-47,9658	1,9905
4	2,25; 2,7292; 3,5013; 4,4294	-48,7074	1,9845
2	2,5; 3,0309	-54,3019	2,0959
3	2,5; 2,9301; 3,6503	-55,8631	2,0936
4	2,5; 2,9281; 3,6396; 4,5107	-55,9594	2,0929
2	3; 3,8862	-67,8151	2,2880
3	3; 3,3765; 4,1783	-69,1854	2,2941
4	3; 3,3540; 3,9742; 4,8074	-70,2846	2,2912
4	3,5; 3,8116; 4,3845; 5,4297	-83,5472	2,4769
3	4; 4,4703; 6,3214	-95,412	2,6368
4	4; 4,2709; 4,7753; 6,6762	-97,3896	2,6480

